

PAPER NAME

Analisis Tingkat Kavitasasi Turbin Francis di PLTA Batang Agam

AUTHOR

Rudi Kurniawan Arief

WORD COUNT

2669 Words

CHARACTER COUNT

13962 Characters

PAGE COUNT

10 Pages

FILE SIZE

344.9KB

SUBMISSION DATE

Apr 18, 2023 12:40 AM GMT+7

REPORT DATE

Apr 18, 2023 12:41 AM GMT+7

● 24% Overall Similarity

The combined total of all matches, including overlapping sources, for each database.

- 22% Internet database
- Crossref database
- 0% Submitted Works database
- 11% Publications database
- Crossref Posted Content database

● Excluded from Similarity Report

- Manually excluded sources

Analisis Tingkat Kavitasasi Turbin Francis di PLTA Batang Agam

Analysis of Francis Turbine Cavitation Rate at Batang Agam Hydroelectric Power Plant

Rizki Hamdani Putra¹, Rudi Kurniawan Arief², Muchlisinalahuddin^{3*}

^{22,2,3*} Program Studi Teknik Mesin, Fakultas Teknik, Universitas Muhammadiyah Sumatera Barat
^{32,1,2,3} Jl. By Pass Aur Kuning No. 1 Bukittinggi, 26111 Indonesia

*Koresponden Email: muchlisinalahuddin.umsb@gmail.com

Artikel dikirim: 19/09/2021

Artikel direvisi: 19/10/2021

Artikel diterima: 26/10/2021

Abstrak. Penelitian ini membahas bagaimana tingkat kavitasasi pada runner turbin yang terjadi di PLTA Batang Agam. Tujuan dalam penelitian ini menganalisis tingkat kavitasasi yang terjadi pada pipa saluran input runner turbin. Metode penelitian yang dilakukan menggunakan metode analisis data dengan menggunakan beberapa persamaan yang bersumber dari pustaka. Hasil penelitian menunjukkan bahwa *head* efektif berbanding terbalik dengan debit air yang masuk ke turbin. *Head* efektif tertinggi pada 100,55 m dengan debit 0,9 m³/s. Sedangkan *head* efektif terendah berada pada 96,26 m dengan debit 4,8 m³/s. Koefisien kavitasasi yang diperoleh berbanding lurus dengan aliran air yang masuk ke turbin. Koefisien kavitasasi terbesar ditunjukkan oleh nilai 0,111157 dengan debit sebesar 4,8 m³/s. Sedangkan koefisien kavitasasi terkecil adalah 0,106414 dengan debit 0,9 m³/s. Koefisien kavitasasi yang diperoleh berbanding lurus dengan kecepatan spesifik. Koefisien kavitasasi terbesar adalah 0,111157 dengan kecepatan spesifik 147,158 rpm. Sedangkan koefisien kavitasasi terkecil dengan nilai 0,106414 dengan kecepatan spesifik 62,318 rpm. Unit turbin 3 PLTA Batang Agam mengalami kavitasasi berdasarkan analisis yang ditunjukkan dengan nilai koefisien kavitasasi dan kecepatan spesifiknya.

Kata kunci: Kavitasasi, Pembangkit Listrik Tenaga Air, Turbin Francis

Abstract. This study ²⁰ discusses how the cavitation level in the turbine runner occurs at the Batang Agam hydropower plant. The purpose of this study is to analyze the level of cavitation that occurs in the turbine runner input line pipe. The research method was carried out using data analysis methods using several equations sourced from the library. The results show that the effective head ³⁴ is inversely proportional to the flow of water entering the turbine. The highest effective head is at 100.55 m with a discharge of 0.9 m³/s. While the lowest effective head is at 96.26 m with a discharge of 4.8 m³/s. The cavitation coefficient obtained is directly proportional ⁵ to the flow of water entering the turbine. The largest cavitation coefficient is indicated by a value of 0.111157 with a discharge of 4.8 m³/s. While the smallest cavitation coefficient is 0.106414 with a discharge of 0.9 m³/s. The cavitation coefficient obtained is directly proportional to the specific velocity. The largest cavitation coefficient is 0.111157 with a specific speed of 147,158 rpm. While the smallest cavitation coefficient with a value of 0.106414 with a specific speed of 62,318 rpm. Turbine unit 3 PLTA Batang Agam cavitation based on the analysis indicated by the value of the cavitation coefficient and specific speed.

Keywords: Cavitation, Hydroelectric Power Plant, Francis Turbine

1. PENDAHULUAN

PLTA Batang Agam merupakan Pembangkit Listrik Tenaga Air tertua di Sumatera Barat yang terletak di Kabupaten Lima Puluh Kota[1]. PLTA ini mulai digunakan pada tahun 1976[2]. Putaran turbin generator pada *power house* ² memanfaatkan potensi air sungai Batang Agam yang dibendung dan dialirkan menuju kolam tando dan diteruskan melalui terowongan *headrace tunnel* sepanjang 1.080 m. PLTA Batang Agam terdiri dari 3 Unit mesin pembangkit dengan daya terpasang 10,5 MW. Peralatan utama PLTA Batang Agam berupa: Turbin, Generator dan Transformator.



JTTM: Jurnal Terapan Teknik Mesin is licensed under a Creative Commons Attribution-NonCommercial 4.0 International License..

Menurut fakta di lapangan pada saat PLTA Batang Agam beroperasi di beban tertentu menyebabkan tingkat vibrasi tinggi, salah satu indikasi vibrasi pada turbin generator terjadinya kavitas. Kavitas adalah ²³gelembung-gelembung air yang yang menyebabkan pengikisan, suara bising dan getaran pada komponen turbin[3]. ⁴Penomena kavitas tersebut dapat diprediksi dengan menghitung angka *Thoma* (σ) agar tidak melewati angka kritis yang sudah ditentukan sesuai spesifikasi turbinnya[4].

Penelitian mengenai analisa kavitas turbin Francis sebelumnya pernah dilakukan pada tahun 2016 di PLTA Soedirman dan hasil penelitian ini ditemukan bahwa tingkat kavitas pada turbin Francis dipengaruhi oleh besar bukaan *guide vane*[5]. ³Dengan semakin besarnya bukaan guide vane pada turbin Francis maka diperlukan lebih banyak debit air yang mengalir untuk mendapatkan *head* yang ditentukan[6][7]. Sementara penelitian lainnya pada tahun 2011 menunjukkan bahwa penyebab ³tingkat kavitas yang terjadi pada turbin air semakin meningkat adalah karena semakin tingginya nilai *head*[8]. Hasil penelitian menyebutkan bahwa sebaiknya pengoperasian turbin francis di beban terbesar dihindari untuk mengurangi resiko tingkat kavitas yang tinggi[9]. Dimana dalam strategi pengoperasian lebih baik pengoperasian unit dilakukan menggunakan unit yang lebih banyak dengan beban rendah dari pada hanya dengan satu unit namun dengan beban operasi tinggi[4][10].

Tujuan dari penelitian ini melakukan analisis tingkat kavitas yang terjadi pada Pembangkit Listrik Tenaga Air yang berada di Batang Agam.

2. METODE.

²⁴Metode pengolahan data yang digunakan dalam penelitian ini adalah metode analisis perhitungan dengan menggunakan persamaan-persamaan yang bersumber dari pustaka, persamaan yang digunakan.

a) Persamaan bernoulli

Persamaan energi dari selisih antara tinggi air atas dengan air bawah pada suatu aliran air di dalam pipa[11].

$$W = m \cdot g \cdot z + \frac{1}{2} m \cdot v^2 + p \cdot V = konstan \quad (1)$$

b) Persamaan head efektif

Head efektif disini adalah tinggi air jatuh efektif (tinggi air jatuh bersih) suatu turbin air yang merupakan selisih dari head air atas dengan head air bawah. Head di sini adalah penjumlahan head tekanan, head kecepatan dan head elevasi. Persamaan head efektif diperoleh dari selisih persamaan ketinggian dalam persamaan Bernoulli[12].

$$H_{eff} = \left[Z_1 + \frac{P_1}{\rho g} + \frac{v_1^2}{2g} \right] - \left[Z_2 + \frac{P_2}{\rho g} + \frac{v_2^2}{2g} \right] \quad (2)$$

c) Persamaan kecepatan spesifik.

Kecepatan spesifik turbin merupakan kecepatan turbin dimana dapat dihasilkan untuk setiap tinggi air jatuh[13].

$$(H)n_s = \frac{n\sqrt{P}}{(H)^{5/4}} \quad (3)$$

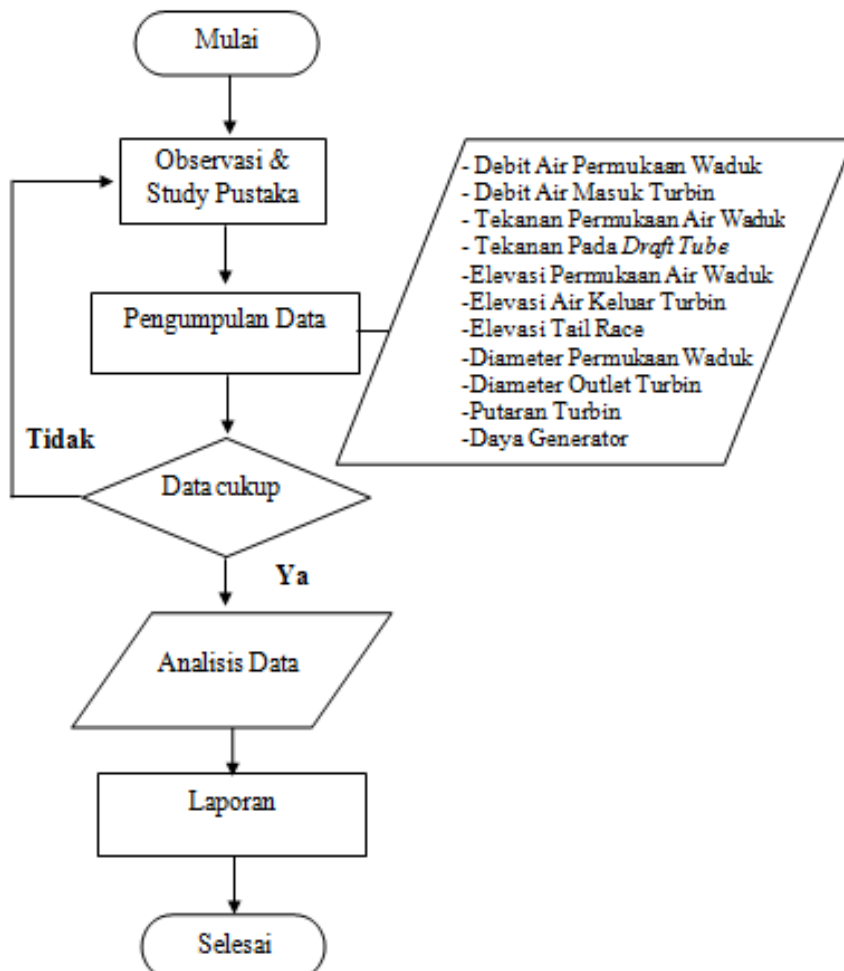
- d) Persamaan koefisien kavitas.

Koefisien kavitas adalah suatu nilai yang menunjukkan bahwa apakah suatu turbin memasuki daerah bahaya kavitas atau daerah aman kavitas. Sehingga nantinya bisa dibandingkan dengan kecepatan spesifik untuk mengetahui tingkat kavitas[14]. Koefisien kavitas dinotasikan dengan bilangan Thoma (σ)[15].

$$\sigma = \frac{H_{atm} - H_v - H_s}{H} \quad (4)$$

Tahapan penelitian ini sesuai dengan diagram alir yang ditunjukan pada gambar 1.¹³

- Observasi dan studi pustaka.
- Pengumpulan data yang dibutuhkan untuk analisis perhitungan.
- Setelah data yang dikumpulkan cukup dilakukan analisis data yang telah dikumpulkan.
- Data hasil analisis dibuatkan ke dalam laporan.



¹³Gambar 1. Diagram alir penelitian

3. HASIL DAN PEMBAHASAN.

3.1 Data hasil observasi lapangan

Tabel 1. Data hasil observasi di PLTA Batang Agam.

Data	Nilai
Massa jenis air (ρ_{air})	997,1 kg/m ³
Percepatan gravitasi (g)	9,81 m/s
Luas permukaan Waduk (A_1)	45000 m ²
Diameter <i>inlet draft tube</i> (D_2)	810 mm (0.81 m)
Debit permukaan air waduk (Q_1)	0 m ³ /s
Debit air masuk turbin (Q_2)	
700 ²⁹ kW	²¹ 0.9 m ³ /s
1800 kW	2.4 m ³ /s
2000 kW	2.7 m ³ /s
2300 kW	3.1 m ³ /s
2500 kW	³⁰ 3.4 m ³ /s
2800 kW	3.7 m ³ /s
3000 kW	4.1 m ³ /s
3500 kW	4.81 m ³ /s
Tekanan permukaan air waduk (p_1)	0 N/m ²
Tekanan pada <i>draft tube</i> (p_2)	-0,4 kg/cm ² (-4000 N/m ²)
Elevasi permukaan air waduk (z_1)	683.00 Mdpl
Elevasi sensor tekanan <i>draft tube</i> (z_2)	582.70 dpl

3.2 Data perhitungan head efektif.

Perhitungan *Head* efektif beban 700 kW.

$$\begin{aligned}
 H_{eff} &= \left[Z_1 + \frac{P_1}{\rho g} + \frac{v_1^2}{2g} \right] - \left[Z_2 + \frac{P_2}{\rho g} + \frac{v_2^2}{2g} \right] \\
 H_{eff} &= \left[\frac{0 - (-4000)}{997.1 \times 9.81} \right] + \left[\frac{0^2 - 1.7476^2}{2 \times 9.81} \right] + (683.00 - 582.70) \\
 H_{eff} &= \left[\frac{4000}{9781.551} \right] + \left[\frac{0 - 3.054}{219.620} \right] + (100.30) \\
 H_{eff} &= (0.4089) = (-0.1557) + (100.30) \\
 H_{eff} &= 100.55 \text{ m}
 \end{aligned}$$

3.3 Data perhitungan kecepatan spesifik

Beban 700 kW

$$n_s = \frac{n\sqrt{P}}{(H)^{5/4}}$$

$$n_s = \frac{750\sqrt{700}}{(100.55)^{5/4}}$$

$$n_s = \frac{750 \times 26.547}{318.403}$$

$$n_s = 62.318 \text{ rpm}$$

3.4 Data perhitungan koefisien kavitas.

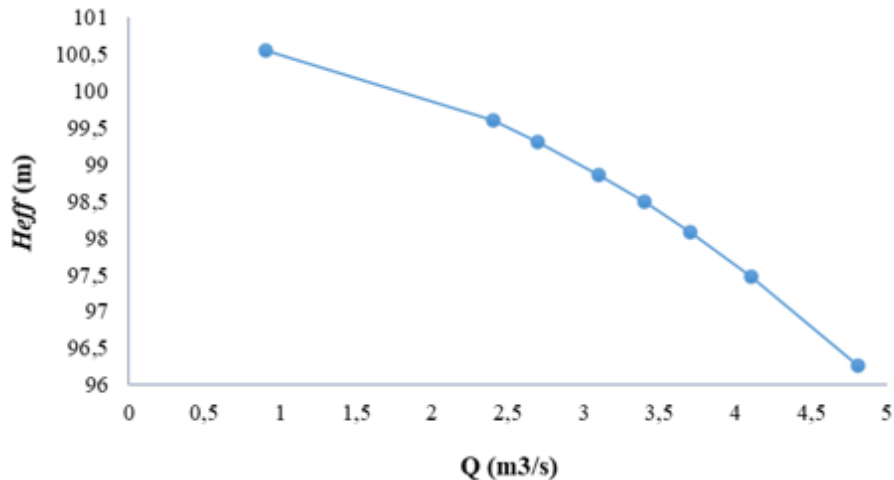
Beban 700 kW.

$$\sigma = \frac{9.62 - 0.32 - (-1.4)}{100.55} = 0.106414$$

3.5 Perbandingan hasil perhitungan head efektif dan debit air masuk turbin.

Tabel 2. Data perbandingan debit air masuk turbin dan *head* efektif.

No.	Q (m ³ /s)	H_{eff} (m)
1	0,9	100,55
2	2,4	99,60
3	2,7	99,31
4	3,1	98,86
5	3,4	98,49
6	3,7	98,08
7	4,1	97,48
8	4,8	96,26



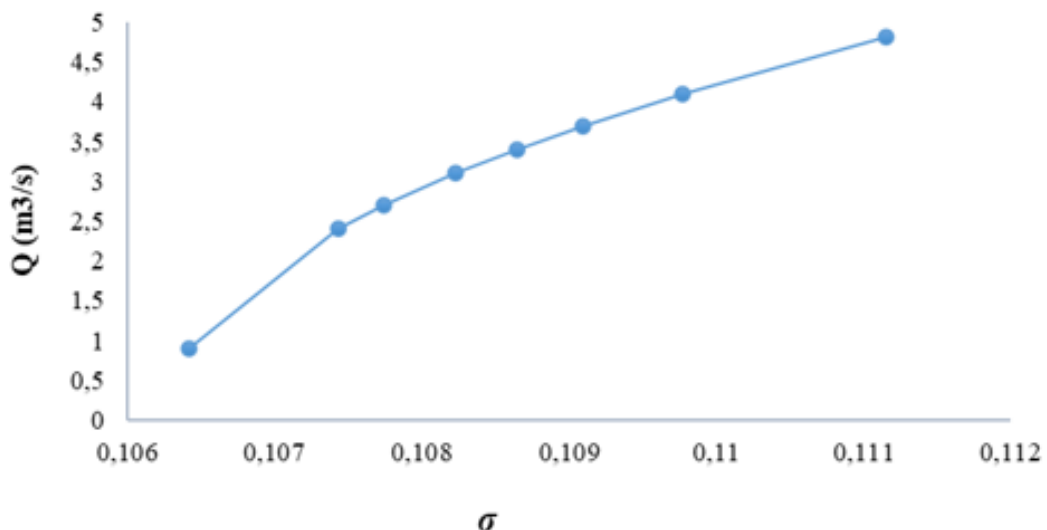
Gambar 2. Grafik perbandingan debit air masuk turbin dan *head* efektif.

Berdasarkan Gambar 2 dapat diketahui *head* efektif menurun jika debit naik dan berlaku sebaliknya. *Head* efektif tertinggi berada di 100,55 m dengan debit pada 0,9 m³/s. Sedangkan *head* efektif terendah berada pada 96,26 m dengan debit sebesar 4,8 m³/s.

3.6 Perbandingan hasil perhitungan koefisien kavitas dan debit air masuk turbin.

Tabel 3. Data perbandingan koefisien dan debit air masuk turbin

No.	σ	Q (m ³ /s)
1	0,106414	0,9
2	0,107429	2,4
3	0,107745	2,7
4	0,108233	3,1
5	0,108643	3,4
6	0,109094	3,7
7	0,109768	4,1
8	0,111157	4,8



Gambar 3. Grafik perbandingan koefisien kavitas dan debit air masuk turbin

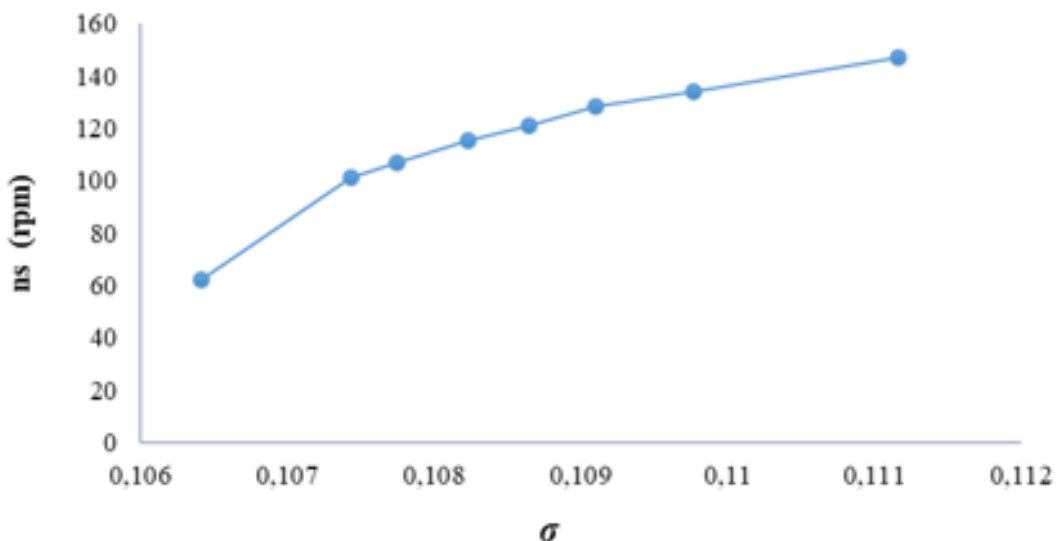
Berdasarkan gambar 3 dapat diketahui koefisien kavitas meningkat saat debit naik dan berlaku sebaliknya. Koefisien kavitas terbesar ditunjukan oleh nilai 0,111157 dengan debit air masuk turbin 4,8 m³/s. Sedangkan koefisien kavitas terkecil pada 0,106414 dengan debit sebesar 0,9 m³/s.

Koefisien kavitas yang tinggi menandakan tingkat kavitas kecil, maksudnya kemungkinan terjadinya kavitas semakin rendah. Sebaliknya koefisien kavitas yang tinggi menandakan tingkat kavitas besar, maksudnya kemungkinan terjadinya kavitas semakin lebih tinggi.

3.7 Perbandingan hasil perhitungan koefisien kavitas dan kecepatan spesifik

Tabel 4. Data perbandingan koefisien kavitas dan kecepatan spesifik

No.	σ	n_s (rpm)
1	0,106414	62,318
2	0,107429	101,126
3	0,107745	106,990
4	0,108233	115,385
5	0,108643	120,866
6	0,109094	128,578
7	0,109768	134,115
8	0,111157	147,158



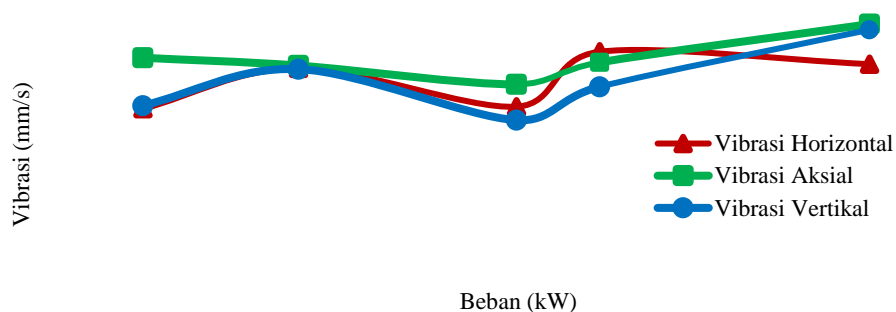
Gambar 4. Grafik perbandingan koefisien kavitas dan kecepatan spesifik.

Pada Gambar 4 dapat dilihat kecepatan spesifik berbanding lurus dengan koefisien kavitas. Koefisien kavitas terbesar berada di nilai 0,111157 dengan kecepatan spesifik sebesar 147,158 rpm. Sedangkan koefisien kavitas terkecil dengan nilai 0,106414 dengan kecepatan spesifik 62,318 rpm. Kesimpulan yang didapatkan adalah tingginya tingkat kavitas dipengaruhi oleh koefisien kavitas yang kecil, sehingga kemungkinan memasuki bahaya kavitas lebih besar dan berlaku sebaliknya.

Berdasarkan gambar 4 didapatkan hasil bahwa dalam pengoperasiannya PLTA Batang Agam unit 3 hampir memasuki daerah bahaya kavitas sehingga kemungkinan mengalami vibrasi. Hal ini dibuktikan dengan turbin generator yang juga mengalami vibrasi akibat adanya kavitas turbin[16].

Tabel 5. Data hasil pengukuran vibrasi

Beban (kW)	Velocity Horizontal ²⁸ (mm/s rms)	Velocity Vertikal (mm/s rms)	Velocity Aksial (mm/s rms)
0	0,474	0,483	0,618
750	0,588	0,568	0,596
1800	0,480	0,442	0,543
2200	0,635	0,536	0,605
3500	0,474	0,697	0,713



Gambar 5. Grafik data hasil pengukuran vibrasi

4 ²⁷ SIMPULAN

Berdasarkan hasil perhitungan dan analisa yang telah dilakukan maka dapat disimpulkan, Nilai *head* efektif berbanding terbalik dengan debit air yang masuk ke dalam turbin. *Head* efektif tertinggi berada di 100,55 m dengan debit pada 0,9 m³/s. Sedangkan *head* efektif terendah berada pada 96,26 m dengan debit sebesar 4,8 m³/s. Koefisien kavitas terbesar ditunjukkan oleh nilai 0,111157 dengan debit air masuk turbin 4,8 m³/s. Sedangkan koefisien kavitas terkecil pada 0,106414 dengan debit sebesar 0,9 m³/s. Koefisien kavitas yang didapatkan berbanding lurus dengan kecepatan spesifik. Koefisien kavitas terbesar berada di nilai 0,111157 dengan kecepatan spesifik sebesar 147,158 rpm. Sedangkan koefisien kavitas terkecil dengan nilai 0,106414 dengan kecepatan spesifik 62,318 rpm. Turbin unit 3 PLTA Batang Agam telah mengalami kavitas berdasarkan analisa yang ditunjukkan oleh nilai koefisien kavitas serta kecepatan spesifiknya. Tingkat kavitas kecil atau masih dalam daerah aman kavitas sehingga tidak mengakibatkan kerusakan yang besar terhadap *runner* dan turbin.

REFERENSI

- [1] H. Hariadi, M. Muchlisinalahuddin, and M. Meilisa, ¹⁹ ANALISIS PERBANDINGAN UNJUK KERJA TURBIN PLTA BATANG AGAM TERHADAP KONDISI PADA SAAT KOMISIONING,” *Rang Tek. J.*, vol. 4, no. 2, 2021, doi: 10.31869/rtj.v4i2.2667.

- [2] E. Kurniawan *et al.*, “⁸Rajian Potensi Peningkatan Daya Terpasang PLTA Sebagai Pemanfaatan Surplus Debit Air Unit PLTA Batang Agam PLN PUSLITBANG, PT PLN (PERSERO),” *Rotasi*, vol. 23, no. 1, pp. 32–38, 2021.
- [3] ¹⁵J. Delly, “Pengaruh Temperatur terhadap Terjadinya Kavitas pada Sudu Pompa Sentrifugal,” *Dinamika*, vol. 1, no. 1, pp. 21–28, 2009.
- [4] M. M. M. ΘΕΟΔΩΡΟΥ, G. B. Paz, and ¹A. A. B. Ruiz, “No 主観的健康感を中心とした在宅高齢者における 健康関連指標に関する共分散構造分析Title,” vol. 3, no. 2017, pp. 54–67, 2020.
- [5] ¹¹X. Huang and X. Escaler, “Added mass effects on a Francis Turbine runner with attached blade cavitation,” *Fluids*, vol. 4, no. 2, 2019, doi: 10.3390/fluids4020107.
- [6] U. G. Mada, “ANALISA KAVITASI YANG TERJADI PADA TURBIN FRANCIS DI PLTA PB SOEDIRMAN TRIHARDIKA BIANTORO, Ir. Soeadgihardo Siswantoro, MT,” 2016.
- [7] ¹⁷P. ¹Gohil and P. Saini, “Cavitating turbulent flow study for low head francis turbine by transient analysis,” *Int. J. Fluid Mach. Syst.*, vol. 12, no. 1, 2019, doi: 10.5293/IJFMS.2019.12.1.022.
- [8] E. Thriana, K. Muhamir, and G. Badrawada, ¹⁸Tengaruh Laju Aliran Massa Terhadap Daya Turbin Air Francis Pada Sub Unit Plta Jelok Semarang,” *J. Teknol. IST AKPRIND*, vol. 1, no. 1, pp. 9–13, 2008.
- [9] ¹⁴P. ¹Gohil and R. P. Saini, “Unsteady simulation of cavitating turbulent flow for low head Francis turbine,” in *IOP Conference Series: Earth and Environmental Science*, 2019, vol. 240, no. 2, doi: 10.1088/1755-1315/240/2/022007.
- [10] T. C. K. Watt, D. Kp, and M. Jawa, ³¹Rancang Bangun Pembangkit Listrik Turbin Air Mikro Hidro,” no. Dl, pp. 76–83.
- [11] ⁷BPSDM Kementerian PU, “Perencanaan Jaringan Pipa Transmisi dan Distribusi Air Minum,” *Perenc. Tek. Air Minum Dengan Menggunakan Progr. Apl. Pengenalan Progr. Epanet*, pp. 1–16, 2018.
- [12] M. Z. Arifin, ¹⁶Analisa Unjuk Kerja Dan Tingkat Kavitas Pada Turbin Francis Di PT PJB Unit Pembangkitan Brantas UNIT PLTA Sutami,” pp. 8–14, 2017.
- [13] D. Sugiyanto, ⁶Potensi Pembangkit Listrik Tenaga Mikrohidro Turbin Kaplan Dengan Variasi Debit Air,” *J. Kaji. Tek. Mesin*, vol. 1, no. 1, pp. 31–42, 2016, doi: 10.52447/jktm.v1i1.331.
- [14] ⁹Q. Chatenet, E. Remy, M. Gagnon, M. Fouladirad, and A. S. Tahan, “Modeling cavitation erosion using non-homogeneous gamma process,” *Reliab. Eng. Syst. Saf.*, vol. 213, 2021, doi: 10.1016/j.ress.2021.107671.
- [15] ¹⁰E. Yohana and M. F. Majiid, “ANALISIS NUMERIK DAN VALIDASI KASUS KAVITASI POMPA SENTRIFUGAL MISSION MAGNUM I MENGGUNAKAN CFD,” *ROTASI*, vol. 18, no. 3, 2016, doi: 10.14710/rotasi.18.3.89-92.

- [16] P. Szulc and A. MacHalski, “The flow deteriorations in course of the partial load operation of the middle specific speed Francis turbine,” *Open Eng.*, vol. 9, no. 1, 2019, doi: 10.1515/eng-2019-0035.

● 24% Overall Similarity

Top sources found in the following databases:

- 22% Internet database
- Crossref database
- 0% Submitted Works database
- 11% Publications database
- Crossref Posted Content database

TOP SOURCES

The sources with the highest number of matches within the submission. Overlapping sources will not be displayed.

Rank	Source	Percentage
1	repo.stikesicme-jbg.ac.id	1%
	Internet	
2	coursehero.com	1%
	Internet	
3	scribd.com	1%
	Internet	
4	repository.usu.ac.id	1%
	Internet	
5	Nadir Al-Ansari. "Hydro-Politics of the Tigris and Euphrates Basins", E...	1%
	Crossref	
6	repository.uin-suska.ac.id	1%
	Internet	
7	repository.uki.ac.id	<1%
	Internet	
8	ejournal2.undip.ac.id	<1%
	Internet	

- 9 Yiming Yang, Jianxin Peng, C.S. Cai, Yadong Zhou, Lei Wang, Jianren Z... <1%
Crossref
- 10 ejournal.undip.ac.id <1%
Internet
- 11 upcommons.upc.edu <1%
Internet
- 12 dona.pwr.edu.pl <1%
Internet
- 13 eprints.ums.ac.id <1%
Internet
- 14 iitr.ac.in <1%
Internet
- 15 idoc.pub <1%
Internet
- 16 pdfslide.net <1%
Internet
- 17 dbpedia.co.kr <1%
Internet
- 18 digilib.unila.ac.id <1%
Internet
- 19 sipora.polije.ac.id <1%
Internet
- 20 koreascience.kr <1%
Internet

- 21 hdl.handle.net <1%
Internet
- 22 jurnal.unmuhjember.ac.id <1%
Internet
- 23 ojs.polmed.ac.id <1%
Internet
- 24 neliti.com <1%
Internet
- 25 ojs.unwaha.ac.id <1%
Internet
- 26 Yulinda Uswatun Kasanah, Pratya Poeri Suryadhini. "Identifikasi Pemb... <1%
Crossref
- 27 ojs.stikessaptabakti.ac.id <1%
Internet
- 28 shop.hauber-elektronik.de <1%
Internet
- 29 docplayer.org <1%
Internet
- 30 Hirofumi Kakudo, Yutaro Senga. "Case study on an integrated operatio... <1%
Crossref
- 31 journals.ums.ac.id <1%
Internet
- 32 pasca.umsb.ac.id <1%
Internet

- 33 portaldeinformacao.utfpr.edu.br <1%
Internet
-
- 34 ijfms.org <1%
Internet
-
- 35 Q. Chatenet, E. Remy, M. Gagnon, M. Fouladirad, A.S. Tahan. "Modeling... <1%
Crossref

● Excluded from Similarity Report

- Manually excluded sources
-

EXCLUDED SOURCES

Rizki Hamdani, Muchlisinalahuddin, Rudi Kurniawan Arief. "Analisis Tingkat ... 92%

Crossref

eprints.umsb.ac.id 52%

Internet

researchgate.net 21%

Internet

sciencegate.app 17%

Internet

repository.its.ac.id 13%

Internet

123dok.com 10%

Internet

vdocuments.pub 8%

Internet

jurnal.sttmcileungsi.ac.id 7%

Internet

M Bagus Anggoro, Armila, Rudi Kurniawan Arief. "Analisis Variasi Busi Terha... 6%

Crossref

Rihaldi Syahputra, Armila, Rudi Kurniawan Arief. "Analisis Pengaruh Laju Alir... 5%

Crossref

- Amam Fachrur Rozie, D.N Adnyana. "Studi Evaluasi Keselamatan Pada LPG S... 5%
Crossref
-
- Asep Gustiawan, Muchlisinalahuddin, Rudi Kurniawan Arief. "Analisis Kebutu... 5%
Crossref
-
- Bayu Idiyanto, Awang Surya. "PENERAPAN TEKNIK FAULT TREE ANALYSIS U... 4%
Crossref
-
- Bagas Imam Priambodo, Hilman Sholih, Firmansyah Azharul. "PERHITUNGA... 4%
Crossref
-
- Raju Rizkyana, Awang Surya. "SISTEM KEAMANAN SEPEDA MOTOR DENGNA... 4%
Crossref
-
- Rahmat Noval, Nofirman. "DIAGNOSIS KEGAGALAN GANDA PADA CHILLER S... 4%
Crossref
-
- semanticscholar.org 4%
Internet
-
- Arif Ardianto, Wilarso. "Analisis Kerusakan Bucket Elevator M-145 Dengan M... 4%
Crossref
-
- Sarjito, Sandhika Putra Pratama, Wijianto, Subroto. "Computational Fluid Dy... 4%
Crossref
-
- Abdul Azis Fitriaji, Alvian Ari Anoor, Muhammad Ilham Alhabisyie, Awang Sur... 4%
Crossref
-
- Antony Purnama Nugraha, Nofirman. "ANALISIS PEMAKAIAN SPARE PART B... 4%
Crossref
-
- Srihanto, Moch Sugiri. "PERENCANAAN SISTEM PENDINGIN UDARA MENGG... 4%
Crossref

Ahmad Marabdi Siregar, Chandra Amirsyahputra Siregar, Affandi, Wawan Se...	4%
Crossref	
Rumzi Yulisman. "Perancangan mesin pengaduk dengan posisi sudut vertikal ...	4%
Crossref	
Pramuko Ilmu Purboputro, Patna Partono, Radix Ekaputra. "The analysis of c...	3%
Crossref	
Awang Surya, Hendly Kevin Ramadhony. "MODIFIKASI GEARBOX CLOSE RATIO...	3%
Crossref	
Irza Sukmana, Egi Andika, Joy Rizki Pangestu Djuansjah, Tarkono. "The effe...	3%
Crossref	
repository.istn.ac.id	3%
Internet	
Syaiful Arif, Koswara. "KARAKTERISASI PISAU DARI BAHAN WIRE ROPE TEM...	3%
Crossref	
Hilman Sholih, Wisnu Pracoyo, Teguh Supriyanto. "PERAWATAN DIES NOMO...	3%
Crossref	
Sugiharjo, Awang Surya. "Analisis Rem Forklift Model Fd30t-17 Terhadap Ava...	3%
Crossref	
media.neliti.com	3%
Internet	
jurnal.umsb.ac.id	3%
Internet	
Amam Fachrur Rozie. "REMAINING LIFE ASSESSMENT DAN KASUS LAJU KO...	3%
Crossref	

Sasmita, Aswin Domodite. "Perancangan Pembuatan Velg Alat Berat Secara ...	3%
Crossref	
Feriadi Sidik, Armila, Rudi Kurniawan Arief. "Rancang Bangun Tungku Reheat..."	3%
Crossref	
repository.univ-tridinanti.ac.id	3%
Internet	
Yogi Saputra, Muchlisinalahuddin, Riza Muharni. "Perancangan dan Analisis ...	2%
Crossref	
Aprian Fadhlul Rahman, Armila, Rudi Kurniawan Arief. "Analisis Pengaruh Ju..."	2%
Crossref	
etd.repository.ugm.ac.id	2%
Internet	
ojs.unm.ac.id	2%
Internet	
ejournal.ft.unsri.ac.id	2%
Internet	
doaj.org	1%
Internet	
e-jurnal.pnl.ac.id	1%
Internet	
ejournal2.pnp.ac.id	<1%
Internet	
jurnal.umsb.ac.id	<1%
Internet	

journal31.unesa.ac.id

<1%

Internet

rekayasamesin.ub.ac.id

<1%

Internet

Asep Saepudin Saepudin. "Analisa Stray Losses Pada Struktur Transformator ... <1%

Crossref

Ozi Abdul Aziz. "Merancang Mesin Kemas Untuk Makanan Ringan", JTTM : Ju... <1%

Crossref

Dodi Indrawan. "Analisa Overheating Pada Kompresor Sullair LS16-60/75/100... <1%

Crossref

Gerry Asprilla. "Meningkatkan Kinerja Mesin Extrude Hydron Menggunakan M... <1%

Crossref

Besse Titing Karmiati. "Perancangan Bentuk Penyaring Sampah Pada Alat Pe... <1%

Crossref

researchinflanders.be

<1%

Internet

id.123dok.com

<1%

Internet

jurnal.unej.ac.id

<1%

Internet